

FIG. 1

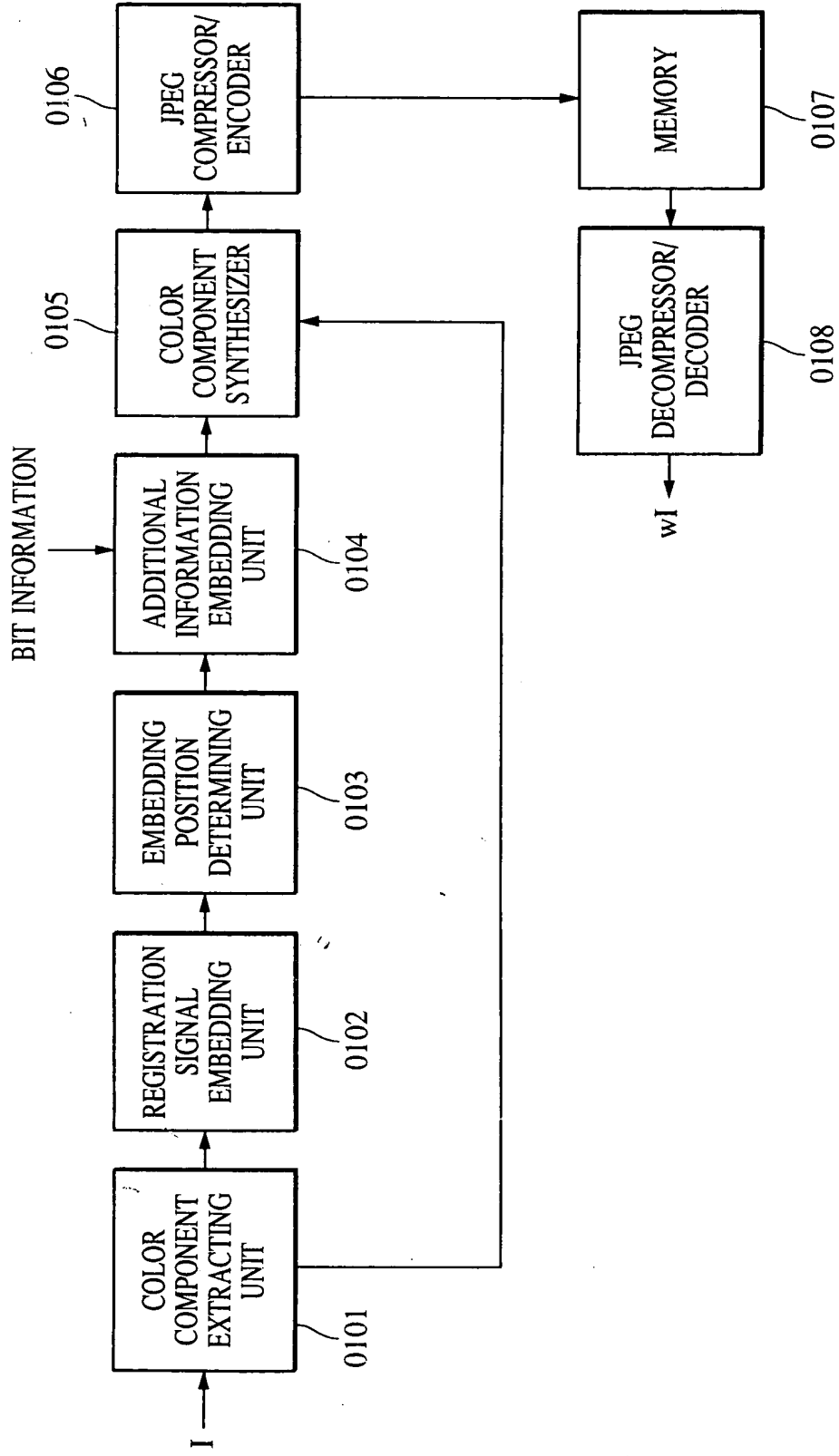


FIG. 2

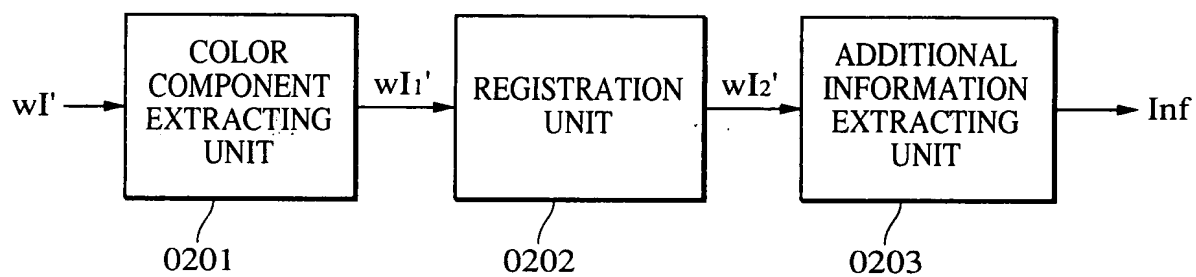


FIG. 3

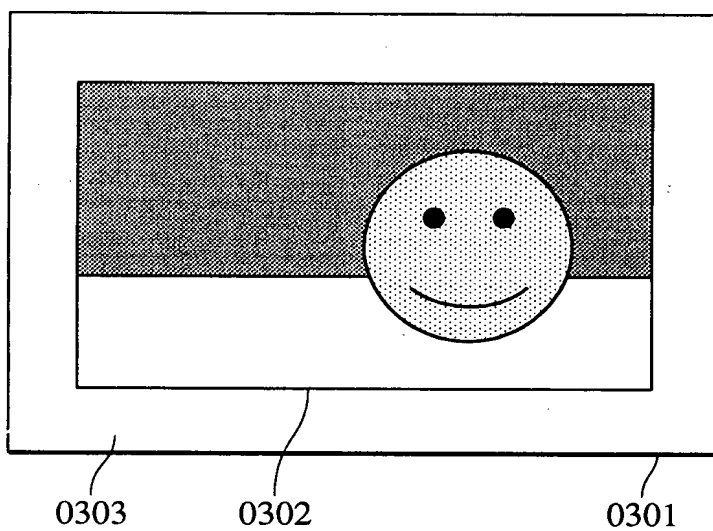


FIG. 4

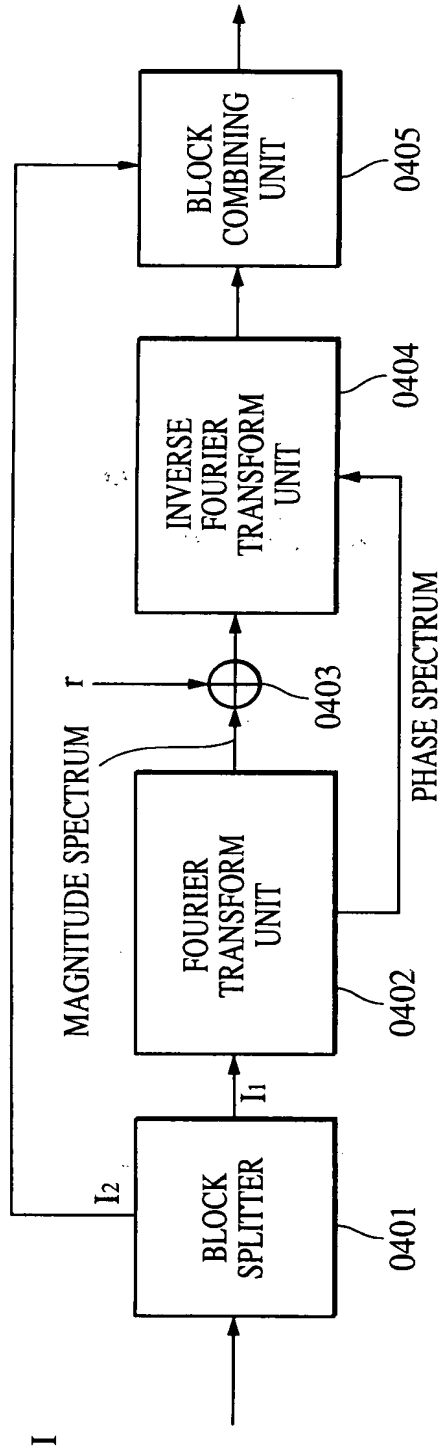


FIG. 5

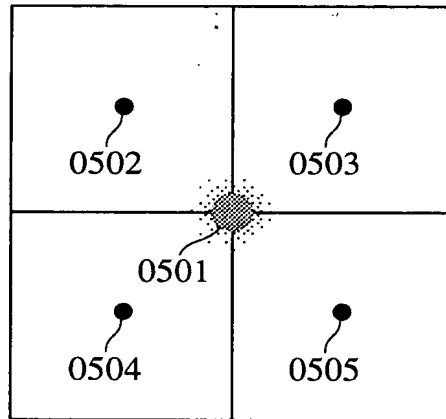


FIG. 6

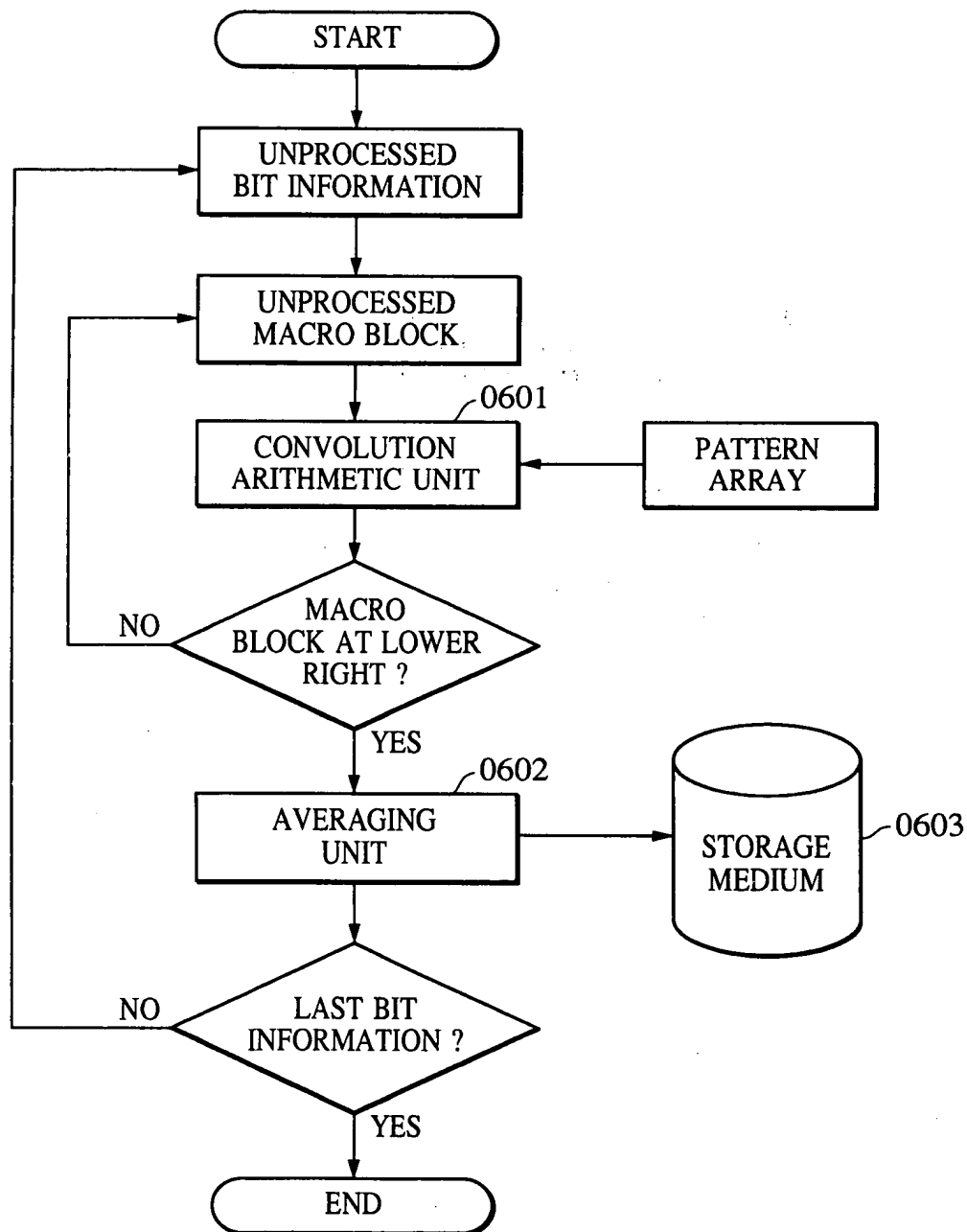


FIG. 7

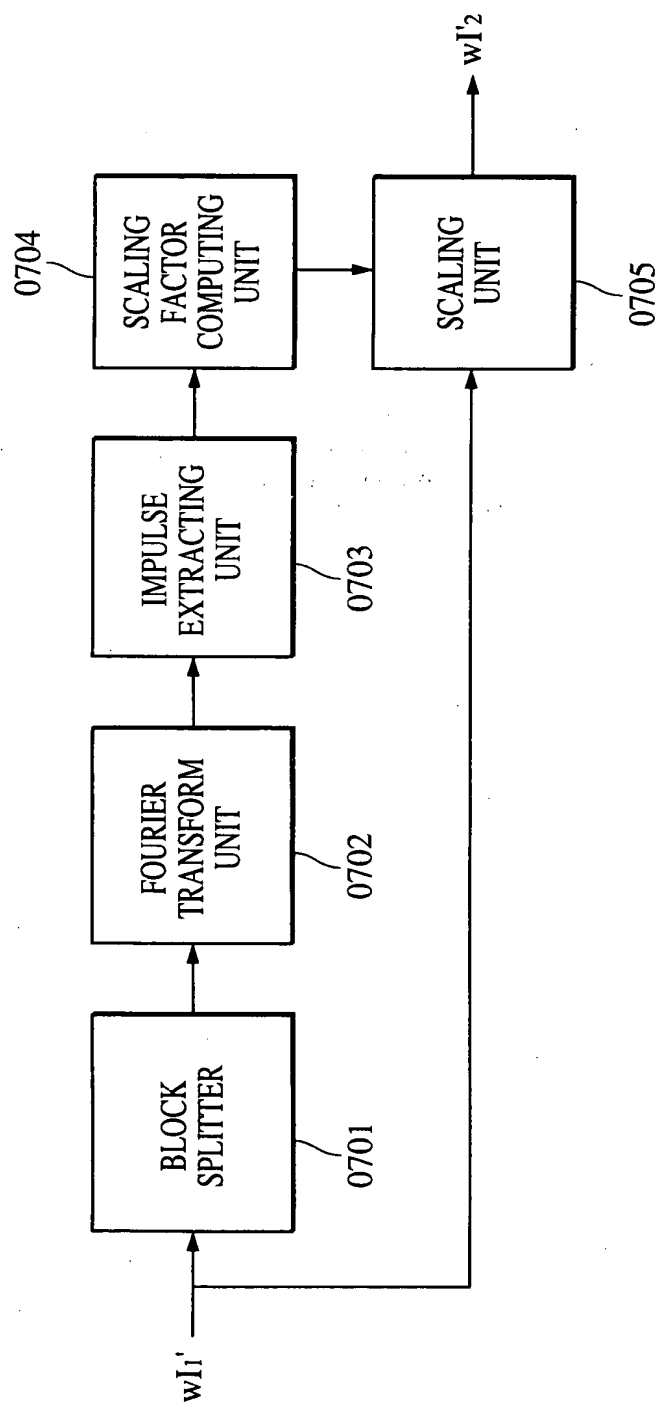


FIG. 8A

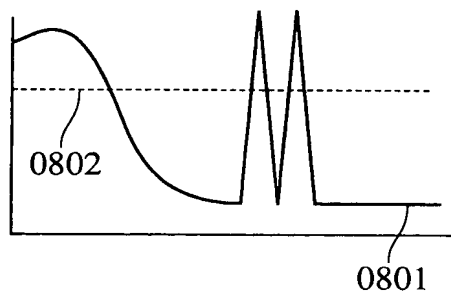


FIG. 8B

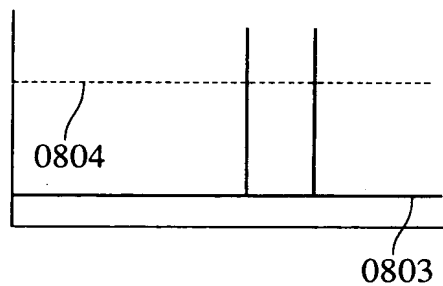


FIG. 9

0901

+c	+c	+c	+c	0	0	0	0
+c	+c	+c	+c	0	0	0	0
+c	+c	+c	+c	0	0	0	0
+c	+c	+c	+c	0	0	0	0
0	0	0	0	-c	-c	-c	-c
0	0	0	0	-c	-c	-c	-c
0	0	0	0	-c	-c	-c	-c
0	0	0	0	-c	-c	-c	-c

FIG. 10

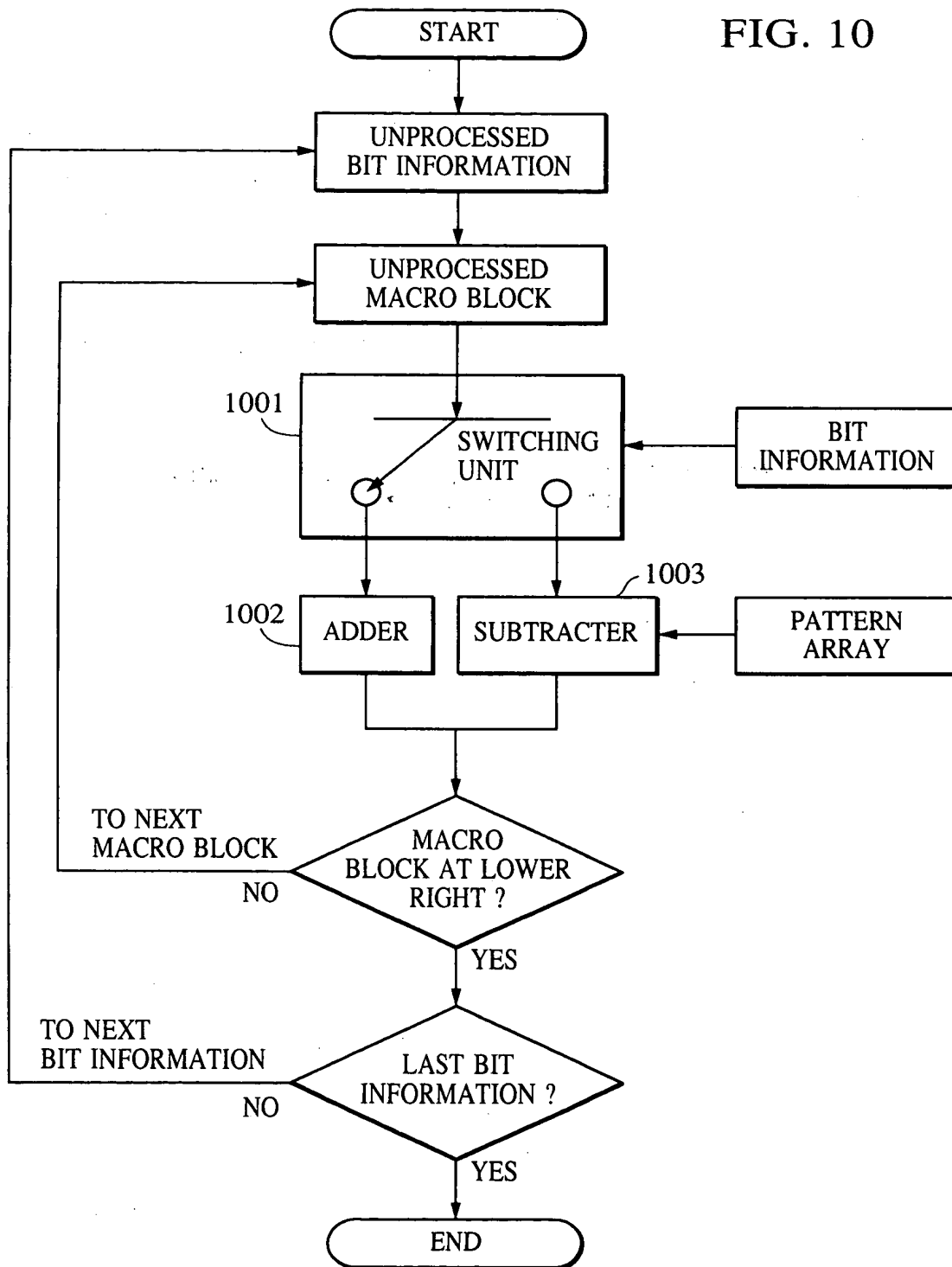


FIG. 11

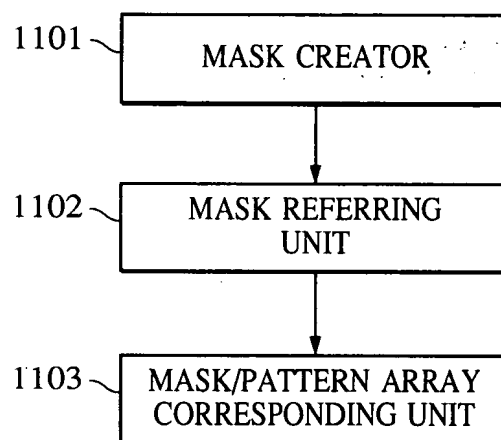


FIG. 12

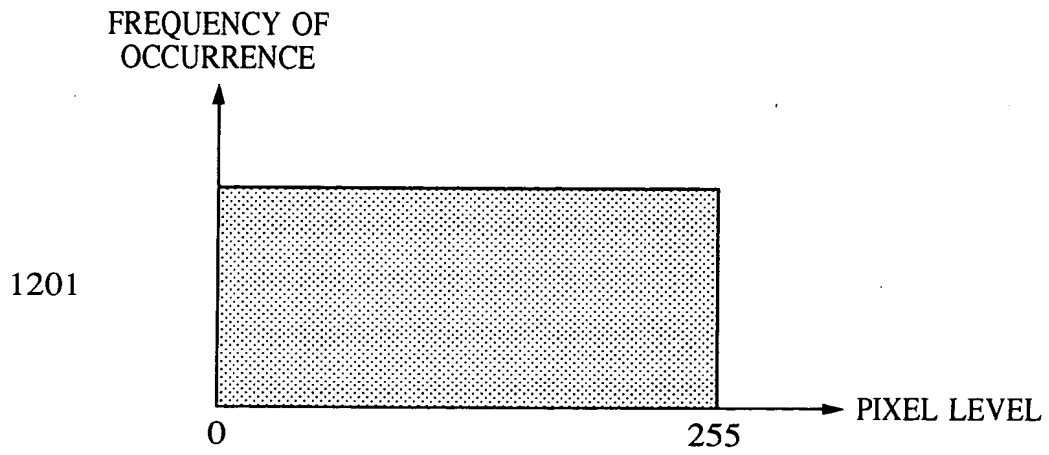


FIG. 13

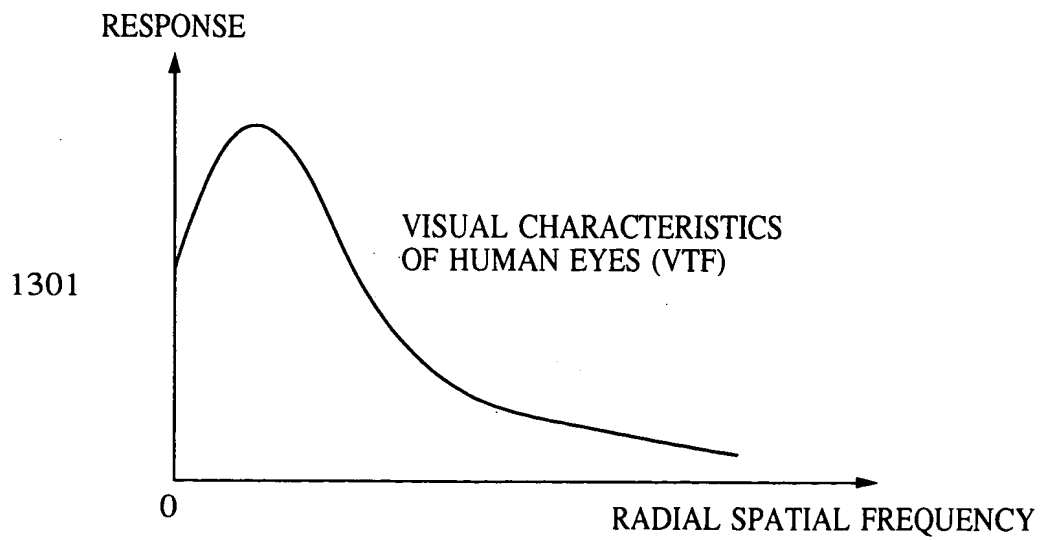


FIG. 14A

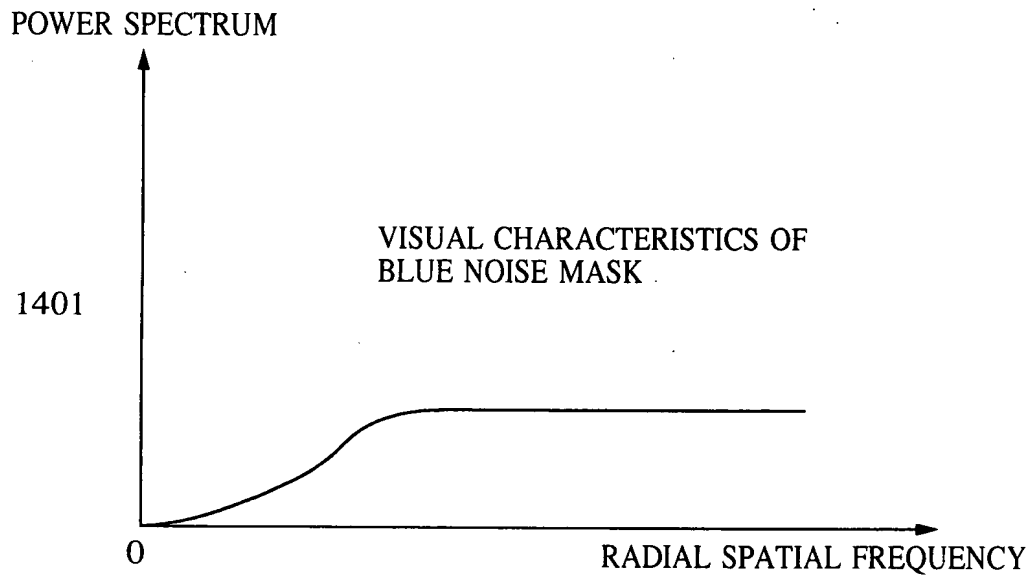


FIG. 14B

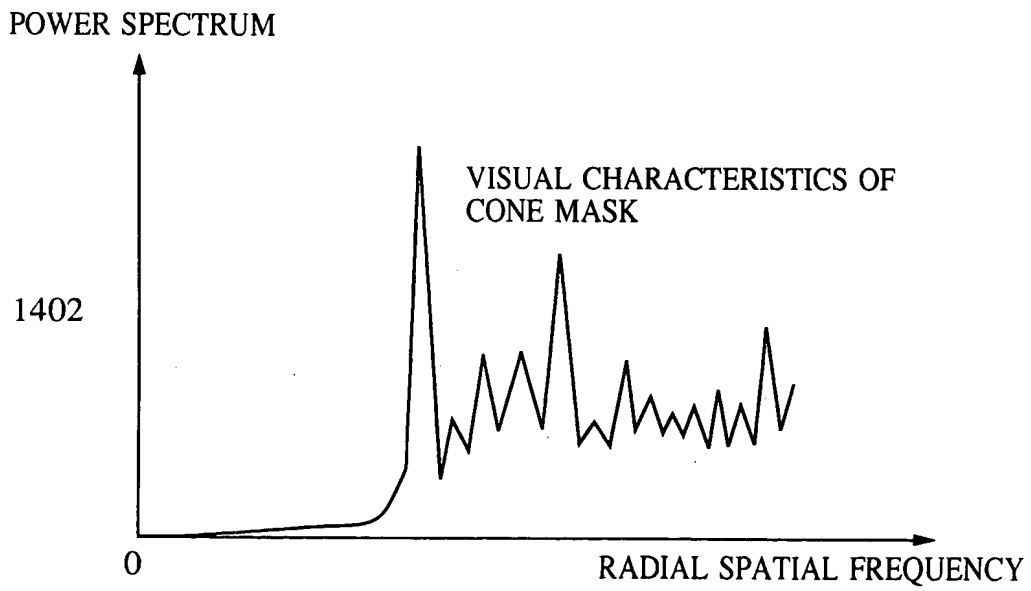


FIG. 15

1501

0	14	13	3
11	5	6	8
7	9	10	4
12	2	1	15

FIG. 16

1601

0	14	13	3
11	5	6	8
7	9	10	4
12	2	1	15

FIG. 18A

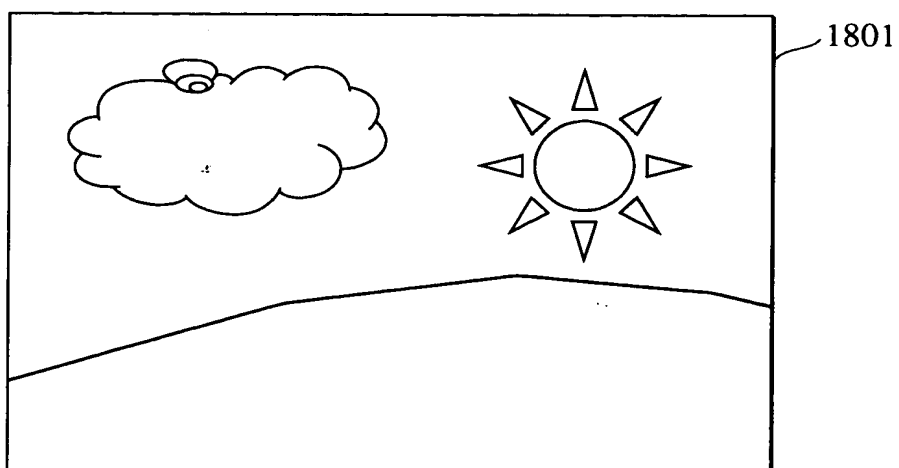


FIG. 18B

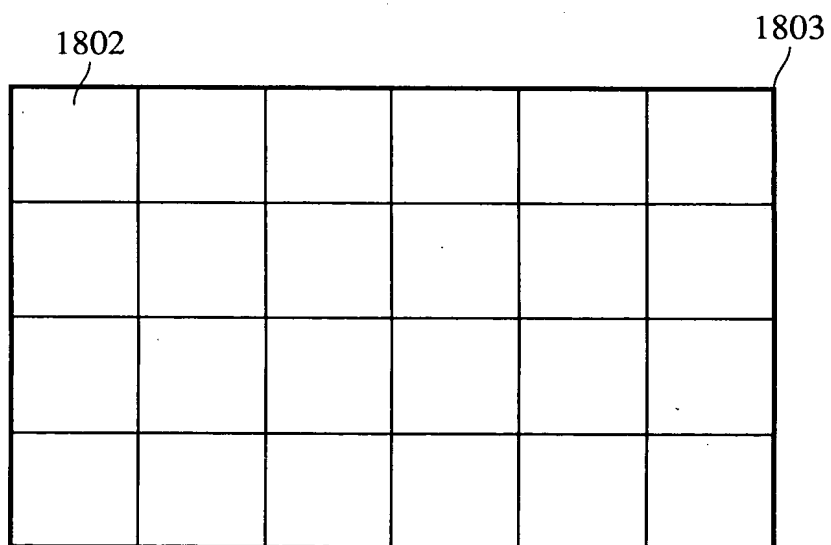


FIG. 19

I (x, y)								+								P (x, y)								I' (x, y)							
a ₀₀	a ₀₁	a ₀₂	a ₀₃	a ₀₄	a ₀₅	a ₀₆	a ₀₇									+C	+C	+C	+C	0	0	0	0	a ₀₀ +C	a ₀₁ +C	a ₀₂ +C	a ₀₃ +C	a ₀₄	a ₀₅	a ₀₆	a ₀₇
a ₁₀	a ₁₁	a ₁₂	a ₁₃	a ₁₄	a ₁₅	a ₁₆	a ₁₇									+C	+C	+C	+C	0	0	0	0	a ₁₀ +C	a ₁₁ +C	a ₁₂ +C	a ₁₃ +C	a ₁₄	a ₁₅	a ₁₆	a ₁₇
a ₂₀	a ₂₁	a ₂₂	a ₂₃	a ₂₄	a ₂₅	a ₂₆	a ₂₇									+C	+C	+C	+C	0	0	0	0	a ₂₀ +C	a ₂₁ +C	a ₂₂ +C	a ₂₃ +C	a ₂₄	a ₂₅	a ₂₆	a ₂₇
a ₃₀	a ₃₁	a ₃₂	a ₃₃	a ₃₄	a ₃₅	a ₃₆	a ₃₇									+C	+C	+C	+C	0	0	0	0	a ₃₀ +C	a ₃₁ +C	a ₃₂ +C	a ₃₃ +C	a ₃₄	a ₃₅	a ₃₆	a ₃₇
a ₄₀	a ₄₁	a ₄₂	a ₄₃	a ₄₄	a ₄₅	a ₄₆	a ₄₇									0	0	0	0	-C	-C	-C	-C	a ₄₀	a ₄₁	a ₄₂	a ₄₃	a ₄₄ -C	a ₄₅ -C	a ₄₆ -C	a ₄₇ -C
a ₅₀	a ₅₁	a ₅₂	a ₅₃	a ₅₄	a ₅₅	a ₅₆	a ₅₇									0	0	0	0	-C	-C	-C	-C	a ₅₀	a ₅₁	a ₅₂	a ₅₃	a ₅₄ -C	a ₅₅ -C	a ₅₆ -C	a ₅₇ -C
a ₆₀	a ₆₁	a ₆₂	a ₆₃	a ₆₄	a ₆₅	a ₆₆	a ₆₇									0	0	0	0	-C	-C	-C	-C	a ₆₀	a ₆₁	a ₆₂	a ₆₃	a ₆₄ -C	a ₆₅ -C	a ₆₆ -C	a ₆₇ -C
a ₇₀	a ₇₁	a ₇₂	a ₇₃	a ₇₄	a ₇₅	a ₇₆	a ₇₇									0	0	0	0	-C	-C	-C	-C	a ₇₀	a ₇₁	a ₇₂	a ₇₃	a ₇₄ -C	a ₇₅ -C	a ₇₆ -C	a ₇₇ -C

FIG. 20

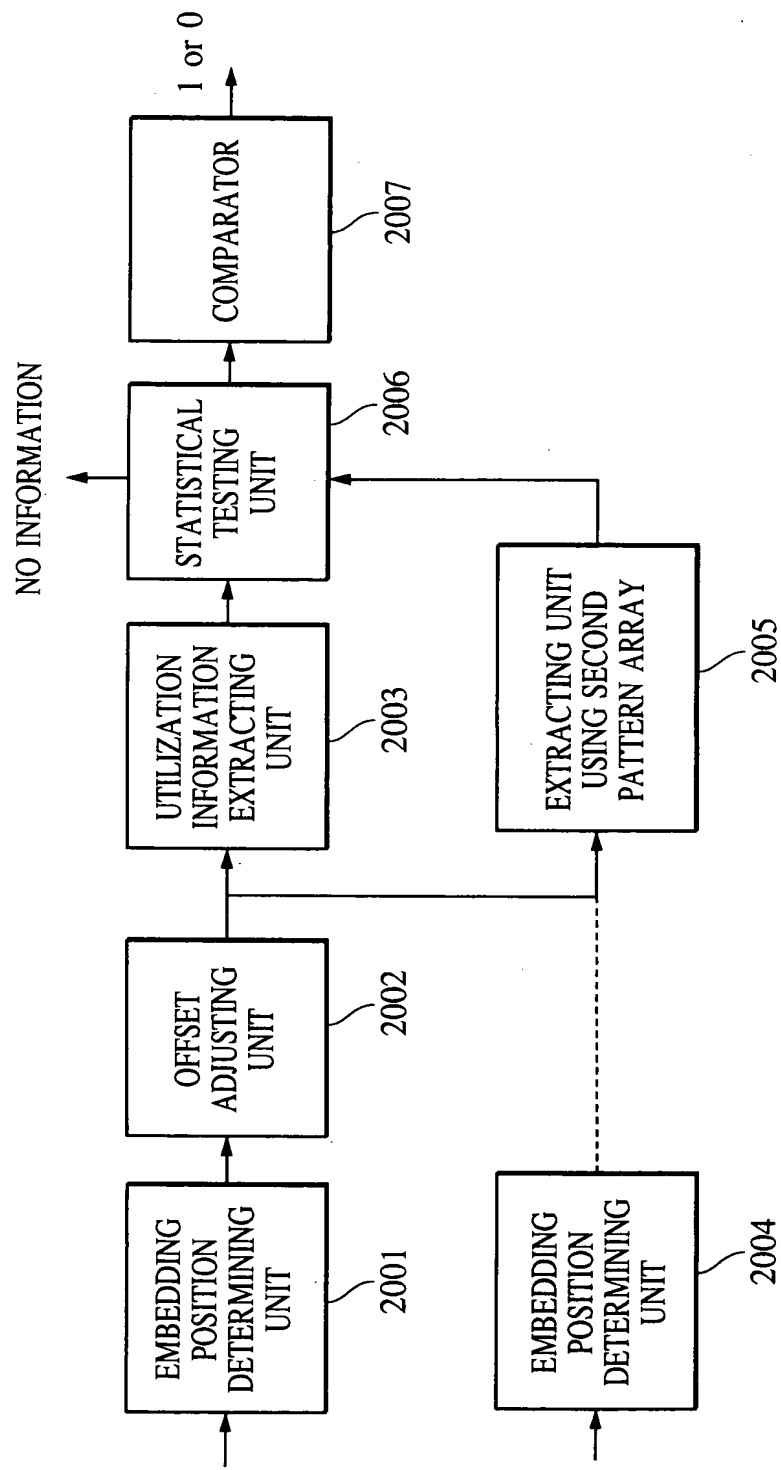


FIG. 21

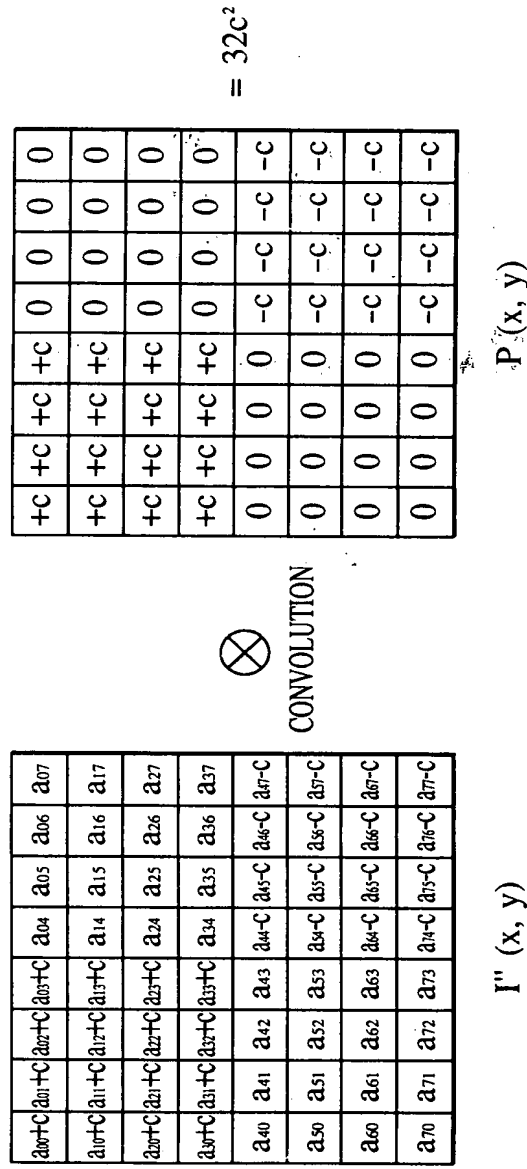


FIG. 22

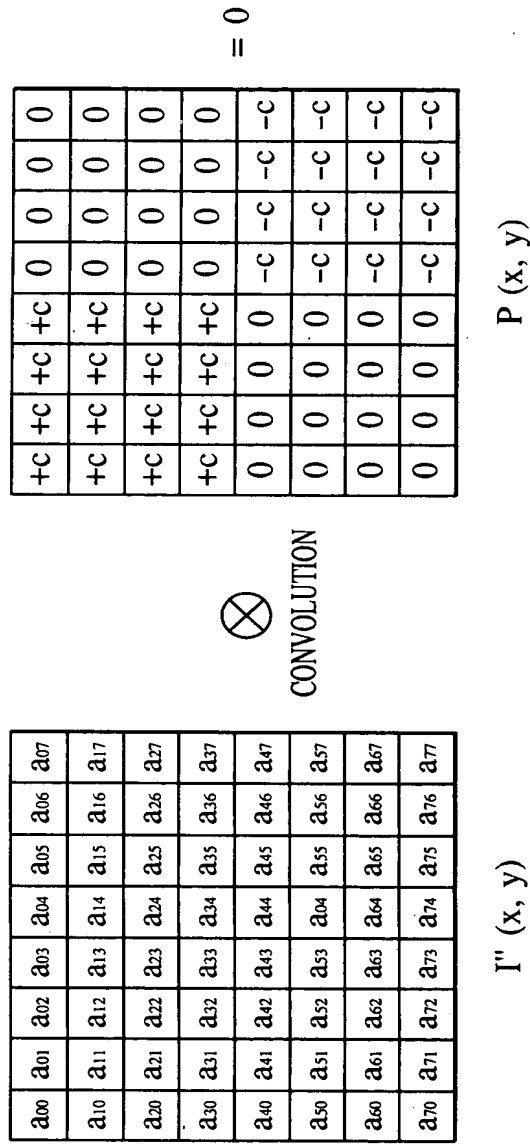


FIG. 23

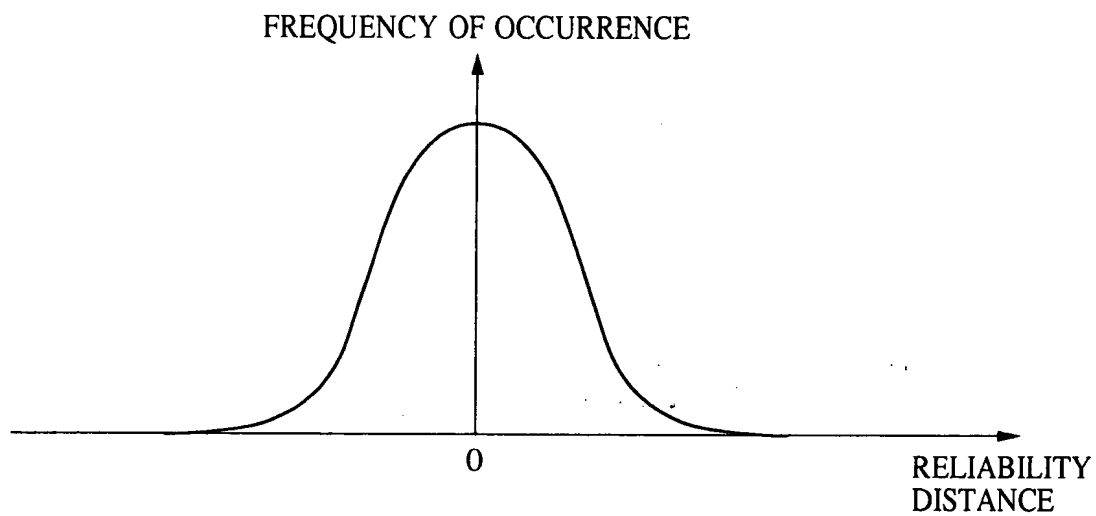


FIG. 24

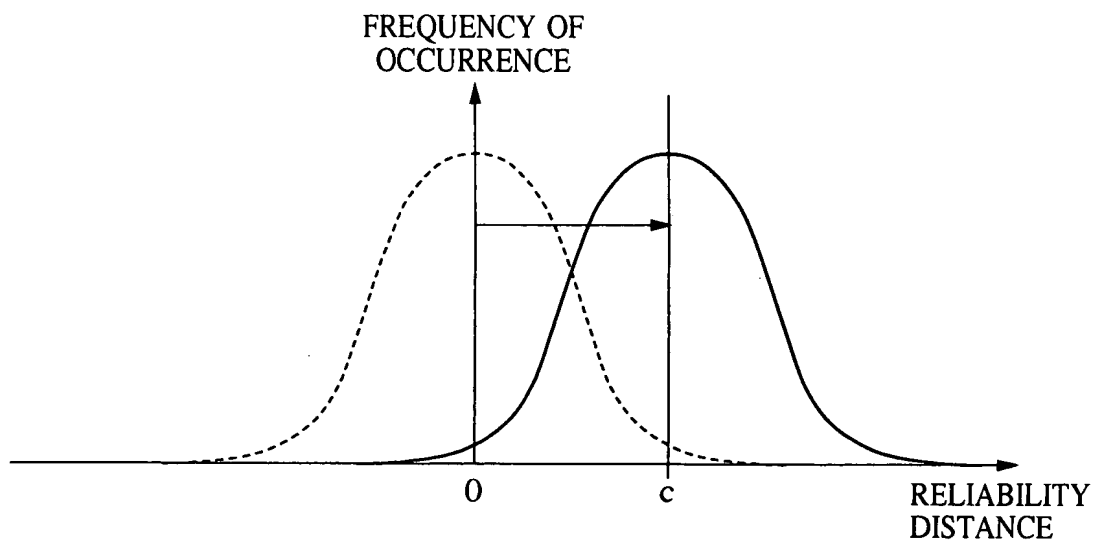


FIG. 25

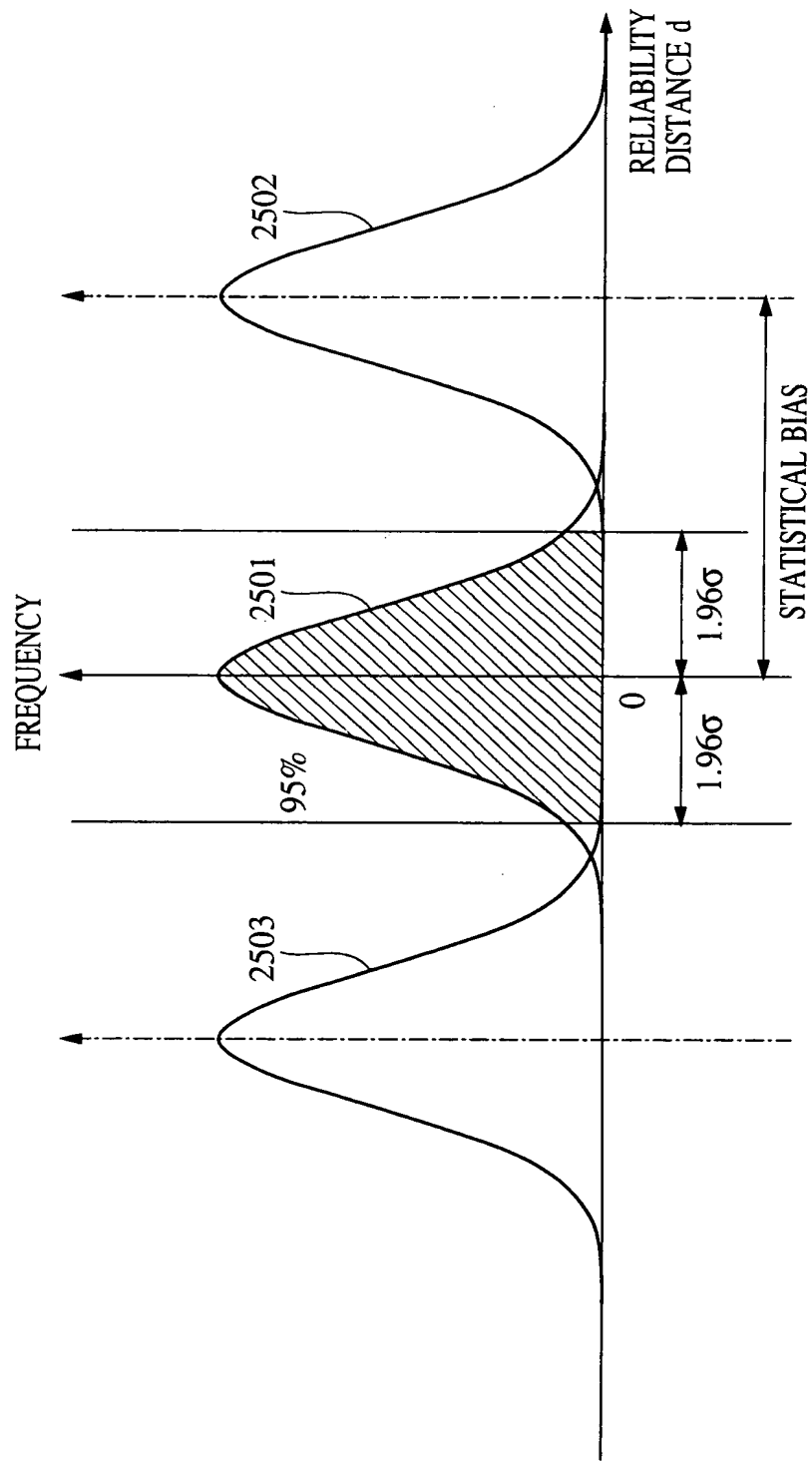


FIG. 26

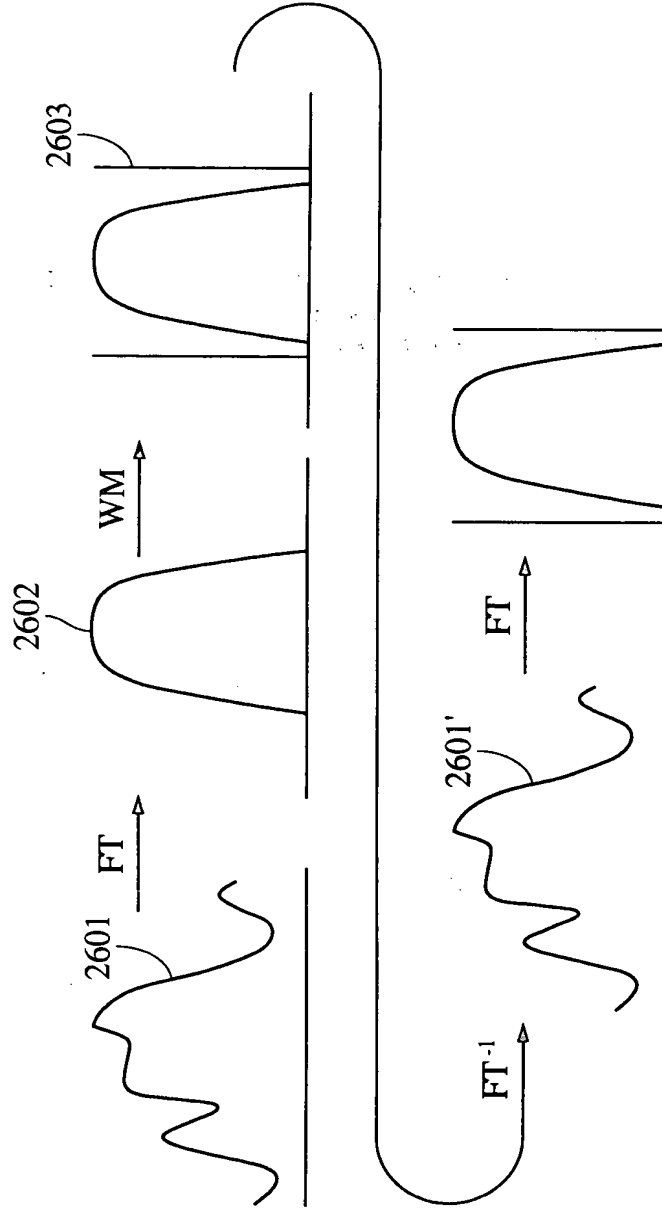


FIG. 27A

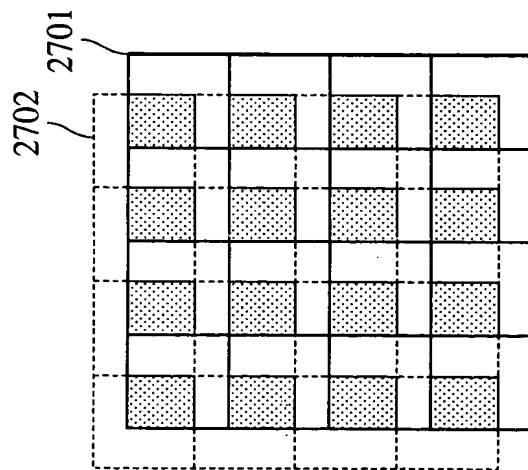


FIG. 27B

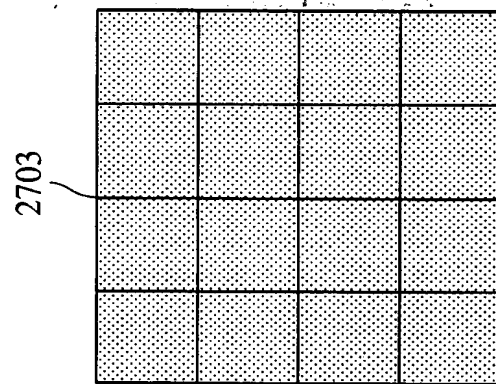


FIG. 27C

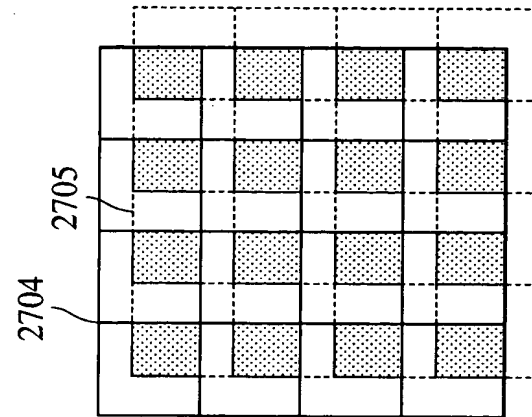


FIG. 28

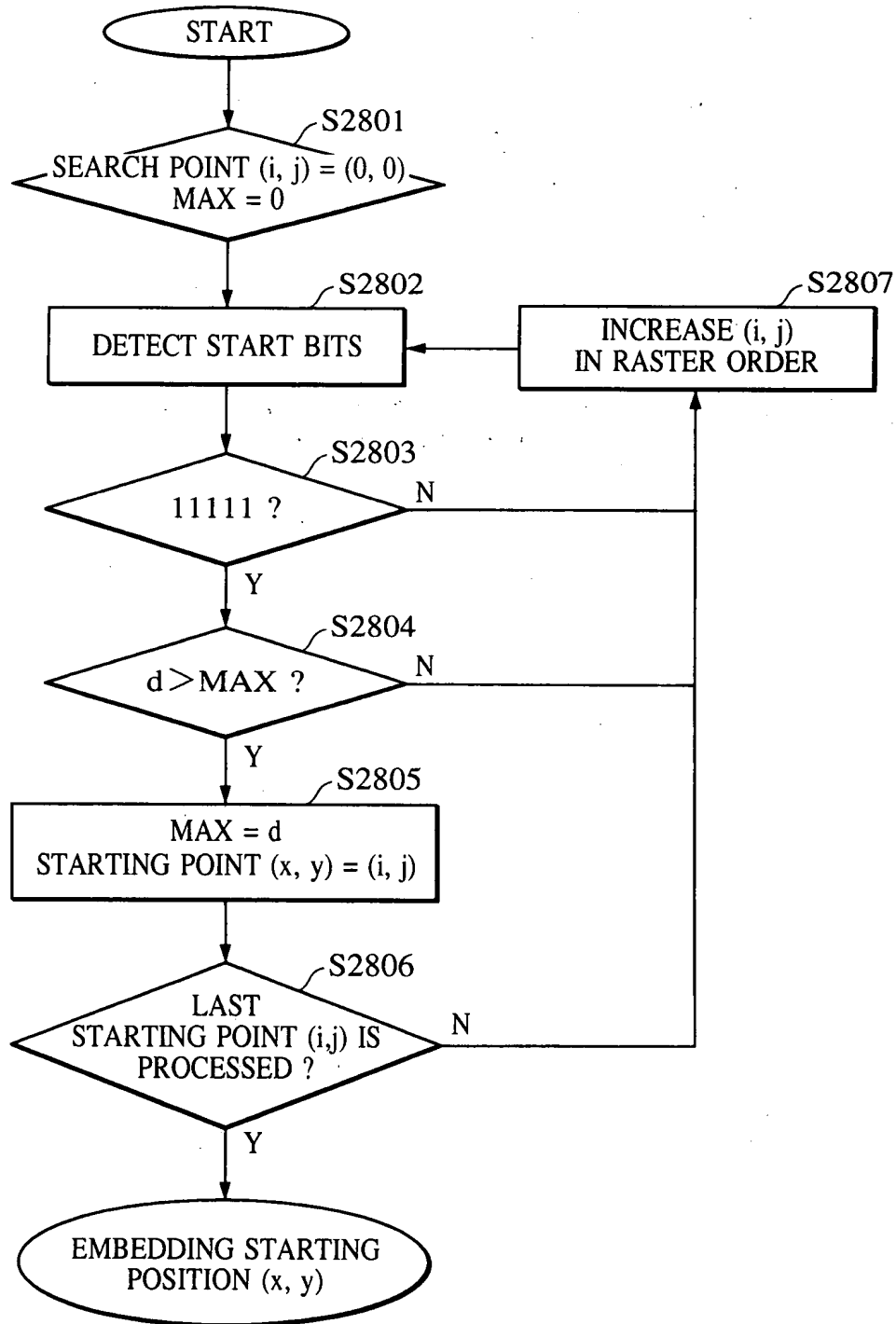


FIG. 29

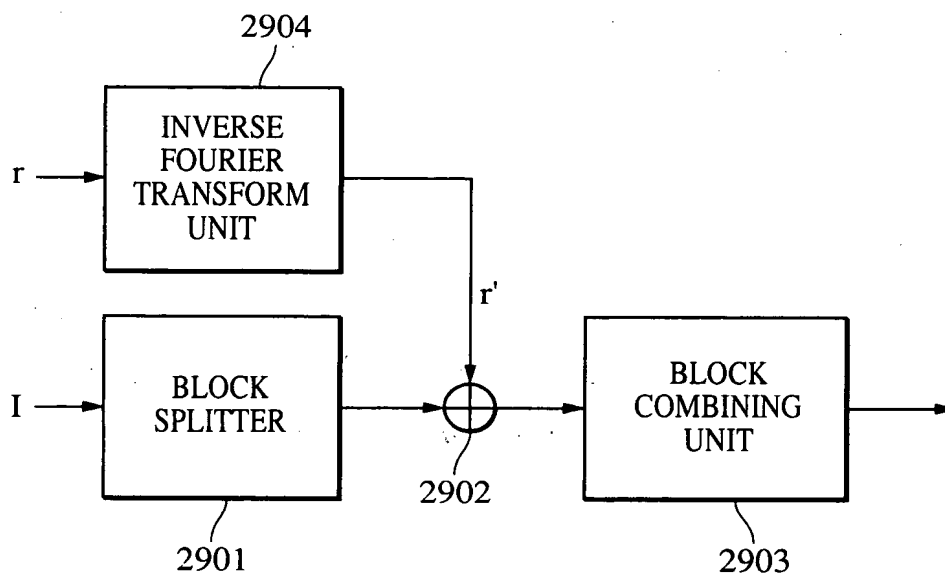


FIG. 30

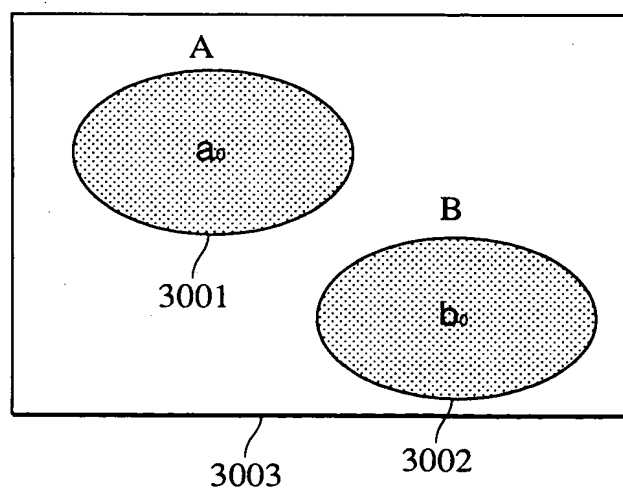


FIG. 31

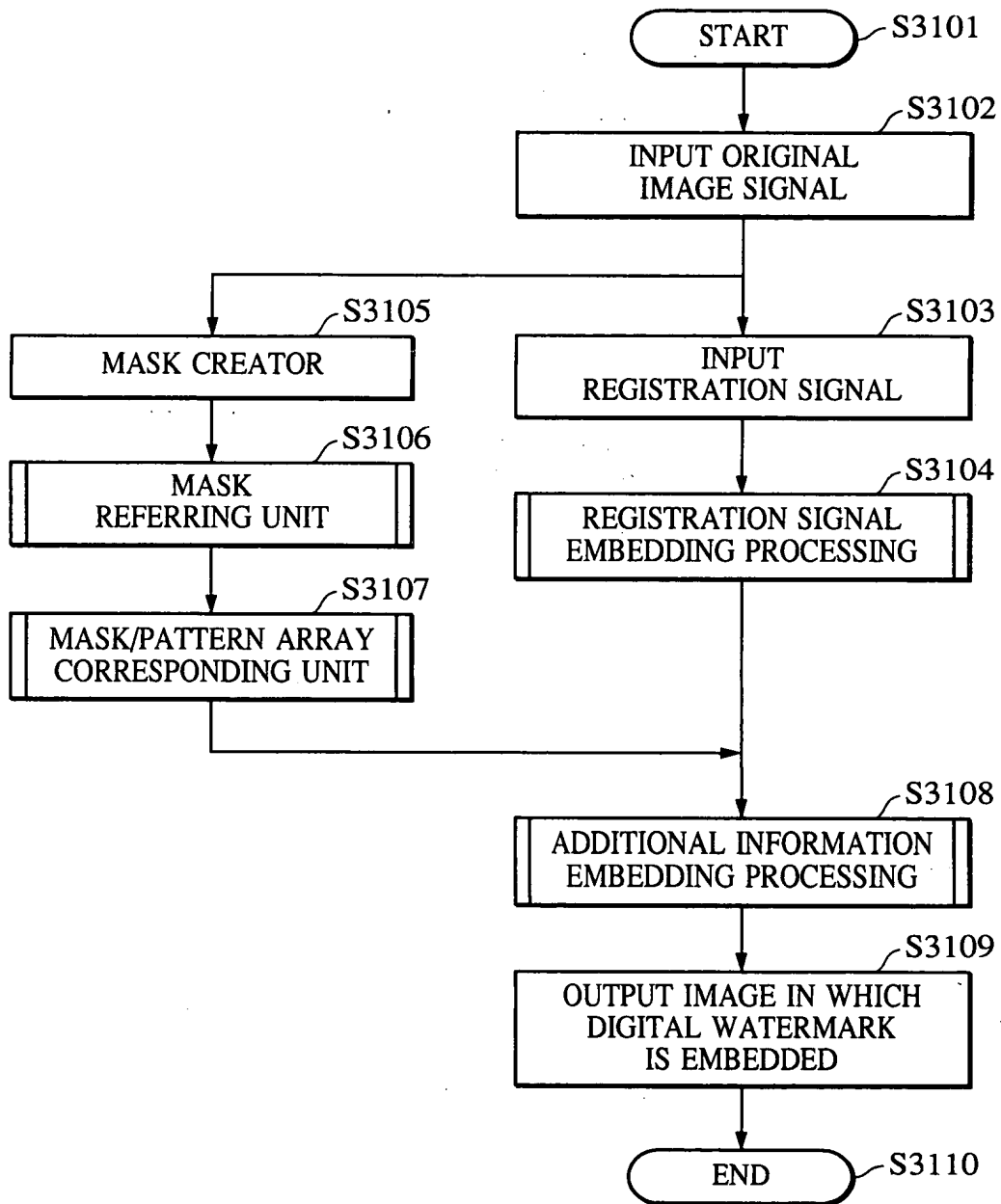


FIG. 32

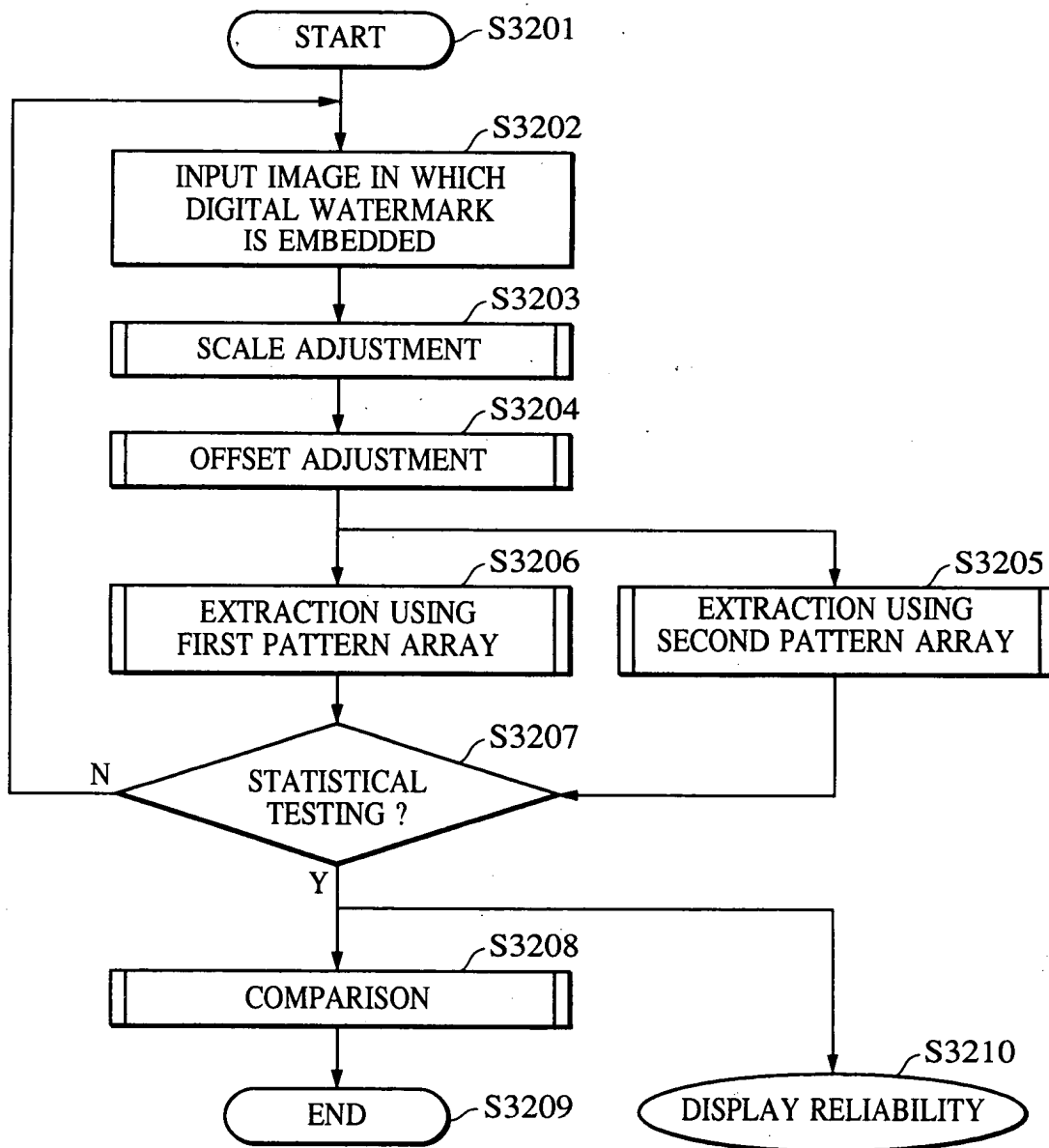


FIG. 33A

3301

0	0	0	0	+c	+c	+c	+c
0	0	0	0	+c	+c	+c	+c
0	0	0	0	+c	+c	+c	+c
0	0	0	0	+c	+c	+c	+c
-c	-c	-c	-c	0	0	0	0
-c	-c	-c	-c	0	0	0	0
-c	-c	-c	-c	0	0	0	0
-c	-c	-c	-c	0	0	0	0

FIG. 33B

3302

-c	-c	0	0	0	0	-c	-c
-c	-c	0	0	0	0	-c	-c
0	0	+c	+c	+c	+c	0	0
0	0	+c	+c	+c	+c	0	0
0	0	+c	+c	+c	+c	0	0
0	0	+c	+c	+c	+c	0	0
-c	-c	0	0	0	0	-c	-c
-c	-c	0	0	0	0	-c	-c

FIG. 34

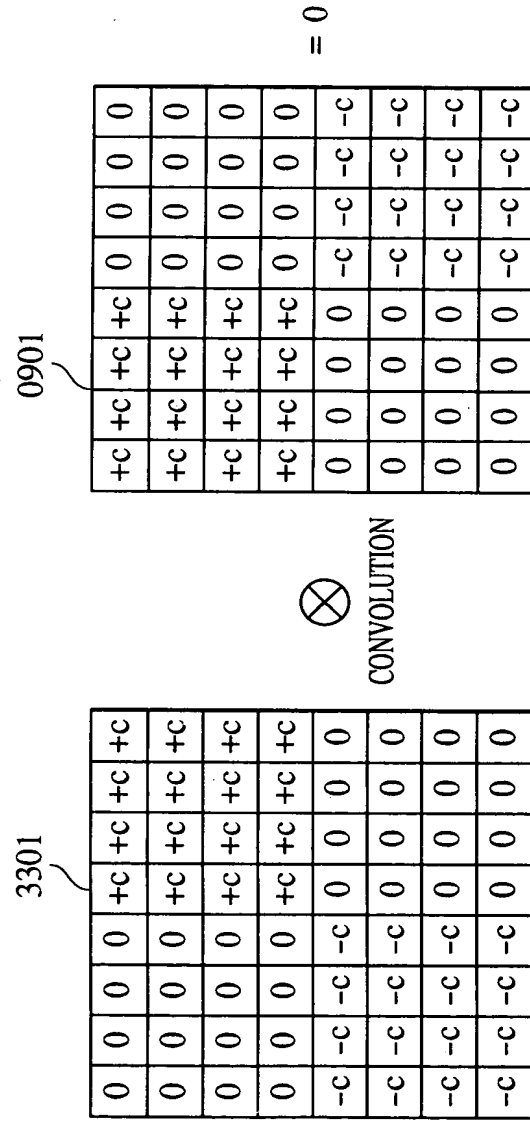


FIG. 35A

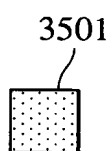


FIG. 35B

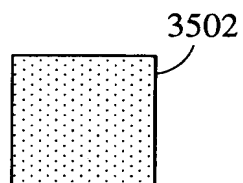


FIG. 36

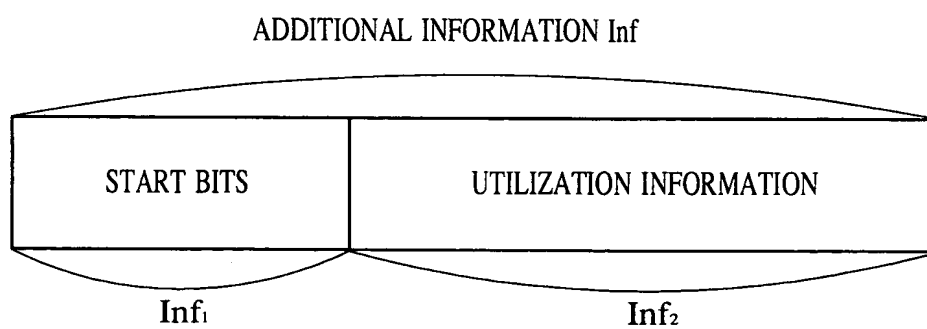


FIG. 37

69	211	9	217	16	35	190	101
87	197	109	180	117	212	71	114
166	28	55	143	104	146	85	130
64	206	179	48	240	232	108	154
67	40	91	224	37	32	223	194
203	214	106	231	169	4	208	24
47	195	27	61	2	155	81	213
251	84	202	184	170	10	46	138

PARTIAL COEFFICIENT ARRAY
OF BLUE NOISE MASK

FIG. 38

73	244	124	207	70	254	117	196
38	177	11	132	43	186	4	138
104	221	93	231	100	211	85	237
23	151	55	165	26	153	56	172
67	250	113	193	79	240	123	203
47	188	1	142	33	183	14	128
96	215	83	232	111	218	91	227
28	157	60	171	17	147	51	160

PARTIAL COEFFICIENT ARRAY
OF CONE MASK

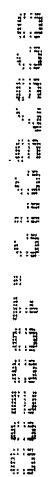
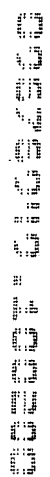
[illegible]
$$\begin{array}{ccccccc} \text{H}_2\text{NCH}_2\text{CH}_2\text{NH}_2 & \text{HOOCCH}_2\text{CH}_2\text{COOH} & \text{H}_2\text{NCH}_2\text{CH}_2\text{NH}_2 & \text{HOOCCH}_2\text{CH}_2\text{COOH} & \text{H}_2\text{NCH}_2\text{CH}_2\text{NH}_2 & \text{HOOCCH}_2\text{CH}_2\text{COOH} \\ | & | & | & | & | & | \\ \text{H}_2\text{N}-\text{C}-\text{CH}_2-\text{C}-\text{NH}_2 & \text{HOOC}-\text{C}-\text{CH}_2-\text{C}-\text{COOH} & \text{H}_2\text{N}-\text{C}-\text{CH}_2-\text{C}-\text{NH}_2 & \text{HOOC}-\text{C}-\text{CH}_2-\text{C}-\text{COOH} & \text{H}_2\text{N}-\text{C}-\text{CH}_2-\text{C}-\text{NH}_2 & \text{HOOC}-\text{C}-\text{CH}_2-\text{C}-\text{COOH} \\ || & || & || & || & || & || \\ \text{O} & \text{O} & \text{O} & \text{O} & \text{O} & \text{O} \end{array}$$


FIG. 41A

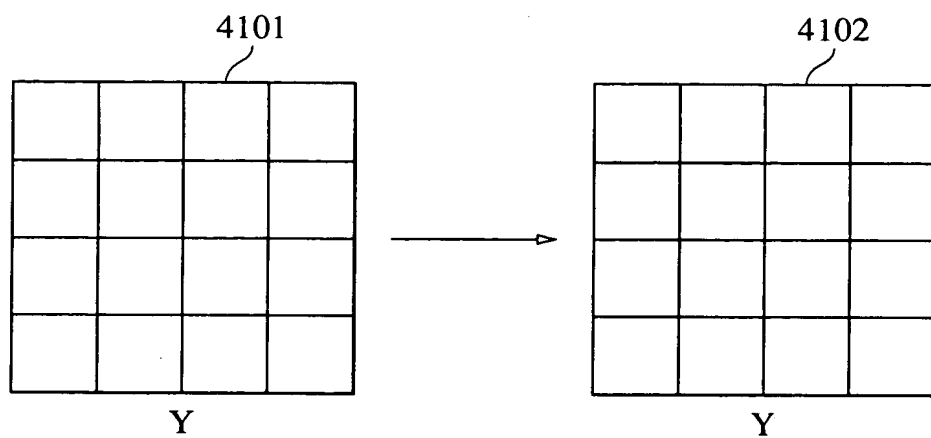


FIG. 41B

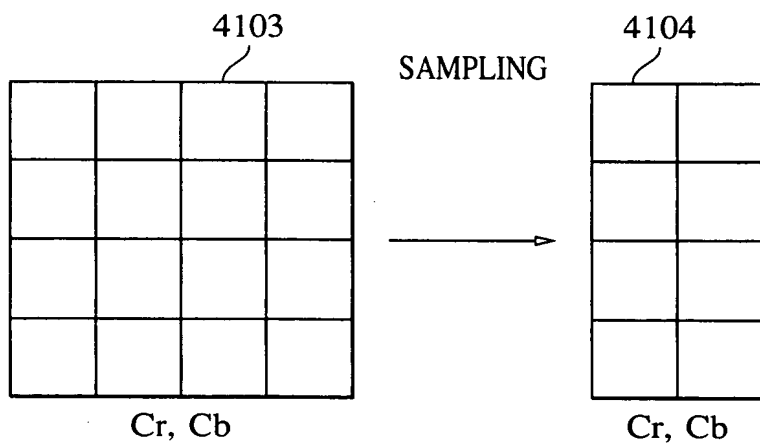


FIG. 42

4201

$+c$	$+c$	$+c$	$+c$	0	0	0	0
$+c$	$+c$	$+c$	$+c$	0	0	0	0
$+c$	$+c$	$+c$	$+c$	0	0	0	0
$+c$	$+c$	$+c$	$+c$	0	0	0	0
0	0	0	0	$-c$	$-c$	$-c$	$-c$
0	0	0	0	$-c$	$-c$	$-c$	$-c$
0	0	0	0	$-c$	$-c$	$-c$	$-c$
0	0	0	0	$-c$	$-c$	$-c$	$-c$

4202